**Zeitschrift:** IABSE reports of the working commissions = Rapports des

commissions de travail AIPC = IVBH Berichte der Arbeitskommissionen

**Band:** 21 (1975)

Artikel: Der Feuerwiderstand stählerner Rahmentragwerke: Ansätze zur

Berechnung des Brandlastfalles

**Autor:** Beyer, R. / Klingmüller, O. / Thierauf, G.

**DOI:** https://doi.org/10.5169/seals-18800

# Nutzungsbedingungen

Die ETH-Bibliothek ist die Anbieterin der digitalisierten Zeitschriften auf E-Periodica. Sie besitzt keine Urheberrechte an den Zeitschriften und ist nicht verantwortlich für deren Inhalte. Die Rechte liegen in der Regel bei den Herausgebern beziehungsweise den externen Rechteinhabern. Das Veröffentlichen von Bildern in Print- und Online-Publikationen sowie auf Social Media-Kanälen oder Webseiten ist nur mit vorheriger Genehmigung der Rechteinhaber erlaubt. Mehr erfahren

# **Conditions d'utilisation**

L'ETH Library est le fournisseur des revues numérisées. Elle ne détient aucun droit d'auteur sur les revues et n'est pas responsable de leur contenu. En règle générale, les droits sont détenus par les éditeurs ou les détenteurs de droits externes. La reproduction d'images dans des publications imprimées ou en ligne ainsi que sur des canaux de médias sociaux ou des sites web n'est autorisée qu'avec l'accord préalable des détenteurs des droits. En savoir plus

## Terms of use

The ETH Library is the provider of the digitised journals. It does not own any copyrights to the journals and is not responsible for their content. The rights usually lie with the publishers or the external rights holders. Publishing images in print and online publications, as well as on social media channels or websites, is only permitted with the prior consent of the rights holders. Find out more

**Download PDF:** 23.10.2025

ETH-Bibliothek Zürich, E-Periodica, https://www.e-periodica.ch

# Der Feuerwiderstand stählerner Rahmentragwerke. Ansätze zur Berechnung des Brandlastfalles

Fire Resistance of Steel Frameworks.

Proposals for Calculation of the Fire Load Factor

Résistance au feu de cadres métalliques. Propositions pour le calcul de la charge portante en cas d'incendie

R. BEYER O. KLINGMÜLLER G. THIERAUF Institut für Konstruktiven Ingenieurbau Bochum, BRD

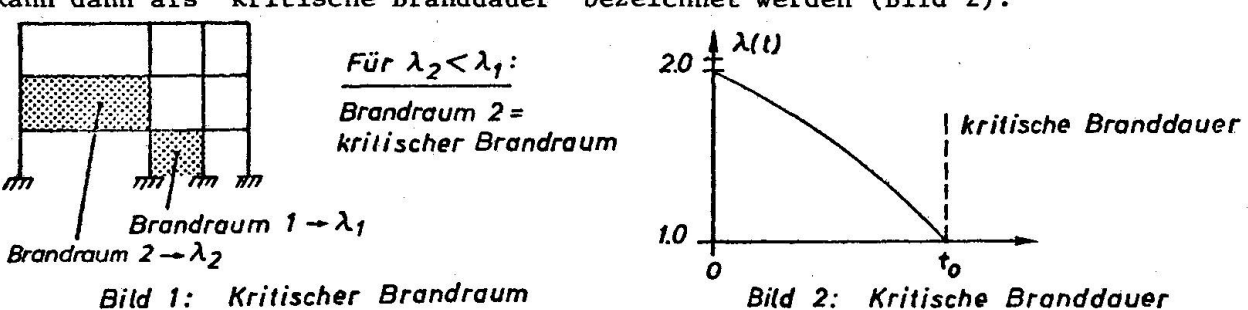
1. Einleitung

Brandschutzmaßnahmen werden im Stahlbau derzeit durch Versuche so bestimmt, daß eine ausreichende Feuerwiderstandsdauer (F30,F60 - DIN 4102) der Einzelbauteile gewährleistet ist. Das Verhalten der gesamten Konstruktion bei erhöhten Temperaturen findet bislang keine Berücksichtigung. Ist der Einfluß von Temperaturerhöhungen in einigen Bauteilen auf das Tragverhalten der Konstruktion bekannt, wird es möglich, den Brandschutz nach statischen Erfordernissen auszulegen und so zu einer wirklichkeitsnahen Einschätzung der Sicherheit im Brandfall zu kommen.

Da der Zusammenhang zwischen dem mechanischen Verhalten und dem thermischen Energiezustand wegen der verhältnismäßig geringen Temperaturen und der kleinen Verformung vernachlässigbar ist, läßt sich die Untersuchung des Tragverhaltens in zwei voneinander getrennte Probleme aufteilen:

- a) Bestimmung einer Temperaturverteilung für einen gegebenen Brandfall,
- b) Statische Berechnung des Tragwerks für die gegebene Temperaturverteilung. Unter statischer Berechnung wird hierbei eine Traglastberechnung verstanden. Der vollständige Verlust der Tragfähigkeit als gefährlichster Versagenszustand wird damit am besten erfaßt. Für die Berechnung der Temperaturverteilung wird von einem bekannten Brandraum und einem bekannten Brandverlauf (z. B. Normbrandverlauf) ausgegangen.

Betrachtet man die Temperaturverteilung zu einem festen Zeitpunkt, so ergeben sich bei verschiedenen Ausgangsbrandräumen verschiedene Lastfaktoren: der kleinste dieser Lastfaktoren definiert einen "kritischen Brandraum" (Bild 1). Bei instationärer (zeitabhängiger) Temperaturverteilung ergibt sich der Lastfaktor als Funktion der Zeit. Die Zeit bis zum Absinken des Lastfaktors auf 1.0 kann dann als "kritische Branddauer" bezeichnet werden (Bild 2).



2. Die Traglastberechnung als Lineare Optimierungsaufgabe

An dieser Stelle werden die Grundgleichungen des Verfahrens zusammengestellt, so daß der Einfluß der Temperatur auf die Traglastberechnung ersichtlich ist. Ausführliche Darstellungen der Traglastberechnung mit Linearer Optimierung findet man in der Literatur  $\frac{1}{1}$ ,  $\frac{1}{1}$ ,  $\frac{1}{1}$ . Eine systematische Berechnung der Traglast auf der Grundlage des ersten Traglastsatzes führt auf die konvexe Optimierungsaufgabe:

Maximiere 
$$\lambda$$
 (1a)

unter den Nebenbedingungen

$$\underline{N} \underline{S} - \lambda \underline{P} = \underline{0},$$
 (Gleichgewicht) (1b)

$$f_i(\underline{S}, \underline{S}_F) = 0$$
, (Fließbedingung) (1c)

i = 1,..., r Bemessungspunkte,

N : Gleichgewichtsmatrix,

S : Spaltenvektor der Schnittgrößen in den Bemessungspunkten,

 $\frac{\overline{P}}{\overline{P}}$ : Spaltenvektor der äußeren Lasten,  $\frac{\overline{S}_F}{\lambda^F}$ : Spaltenvektor der vollplastischen Schnittgrößen,  $\frac{\overline{A}}{\lambda^F}$ : Lastfaktor.

Gesucht ist das Maximum von A unter der Bedingung, daß Gleichgewicht herrscht (1b) und die Schnittgrößen die durch die Fließbedingungen f festgelegten Grenzen der zulässigen Beanspruchung nicht überschreiten. i Eine Lösung der Gleichgewichtsgleichungen (1b) mit dem Kraftgrößenverfahren wird durch  $\underline{S} = \lambda \underline{b}_{O} \underline{P} + \underline{b}_{X} \underline{X}$ 

$$\underline{S} = \lambda \, \underline{b}_{0} \underline{P} + \underline{b}_{X} \underline{X} \tag{2}$$

dargestellt. Das Produkt  $\lambda \, \underline{b}_{o} \underline{P}$  ergibt die Schnittgrößen in einem statisch bestimmten Hauptsystem,  $\frac{b}{X}$  die Eigenspannungszustände. Für die Fließbedingungen (1c), die im allgemeinen nichtlineare Funktionen in  $\underline{S}$  sind, wird hier eine lineare Approximation einfachster Art angenommen (Bild 3):

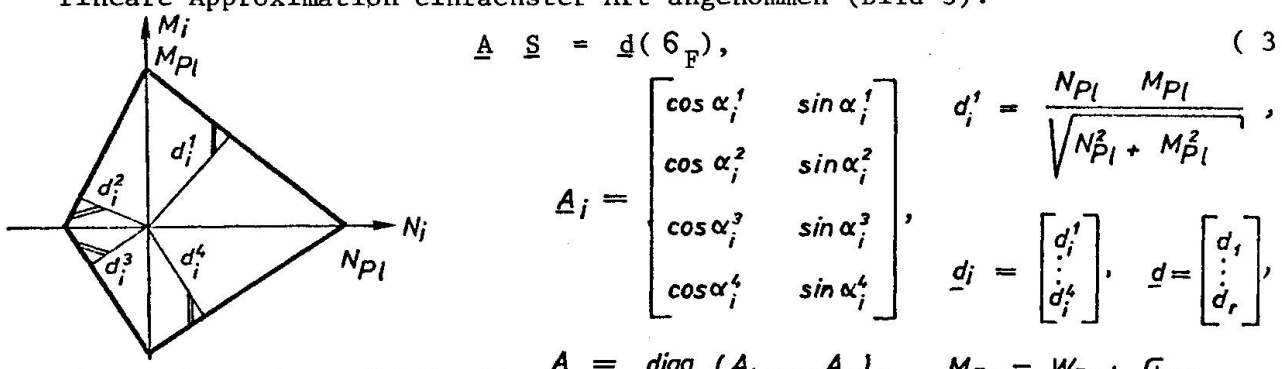


Bild 3: Linearisierter Fließbereich 
$$\underline{A} = diag(\underline{A}_1, ..., \underline{A}_r), \quad M_{Pl} = W_{Pl} \cdot C_F, \quad N_{Pl} = F \cdot C_F.$$

(4)

: Matrix der Richtungswinkel,

: Abstand einer Begrenzungslinie des zulässigen Bereichs,

Mp1: vollplastisches Moment,

Np1: vollplastische Normalkraft,

 $W_{\mbox{\footnotesize{P1}}}$  : vollplastisches Widerstandsmoment,

: Querschnittsfläche,

6<sub>F</sub> : Fließspannung,

Wp1 und F sind im Stabelement konstant.

Durch Einsetzen von (2) in (3) und (3) in (1) erhält man folgende Lineare Optimierungsaufgabe:

Maximiere 
$$\lambda$$
 (5a)

unter den Nebenbedingungen

$$\underline{\underline{A}}(\lambda \underline{b}_{0} \underline{P} + \underline{b}_{X} \underline{X}) \leq \underline{d}, \quad \lambda > 0.$$
 (5b)

Die statisch Unbestimmten X sind freie Variable. Da die Gleichgewichtsbedingungen am unverformten Tragwerk aufgestellt werden, sind nur die vollplastischen Schnittgrößen  $M_{p_1}$  und  $N_{p_1}$  und damit auch d temperaturabhängig. Ist die Temperatur T in den Bemessungspunkten bekannt, so lassen sich mit

$$\delta_{r}(T) = 2400 - 4 T$$
 (St 37) (6a)

$$6_{F}(T) = 2400 - 4 T$$
 (St 37)  
oder  $6_{F}(T) = 3600 - 5.15 T$  (St 52) (6b)

die Abstände d der Begrenzungslinien des zulässigen Bereichs als Funktionen der Temperatur darstellen. Für einen gegebenen Brandverlauf wird die Lineare Optimierungsaufgabe (5) für verschiedene Punkte der Temperatur-Zeit-Kurve als parametrische Optimierungsaufgabe gelöst. Die Lösung ergibt den zeitabhängigen Lastfaktor  $\lambda$  (t), / 4 /.

Zur Veranschaulichung des Einflusses der Temperatur wird in Bild 4 die Abhängigkeit der Fließbedingungen von der Temperatur in einem Interaktionsdiagramm dargestellt.

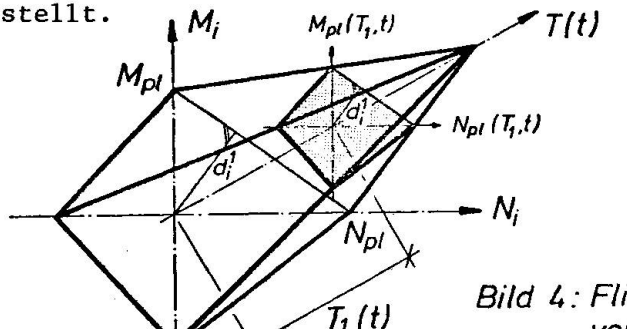


Bild 4: Fließbereich in Abhängigkeit von der Temperatur T(t)

3. Berechnung der Temperaturverteilung

Die theoretische Ermittlung der Feuerwiderstandsdauer ebener Rahmentragwerke aus Baustahl geht von einer Temperaturverteilung infolge gegebener Belastung durch punktförmige Wärmeströme aus. Die Berechnung der Temperaturverteilung in dem Stabwerk erfolgt unter den bekannten Annahmen und Vernach-lässigungen der technischen Wärmelehre $\sqrt{3}$   $\sqrt{l}$ . Die eindimensionale instationäre Grundgleichung der Wärmeleitung in einem Stab mit dem Linienelement dx lautet bei konstanten Stoffwerten  $\lambda$ , c, g  $cg\frac{\partial T}{\partial t} = \lambda \frac{\partial^2 T}{\partial x^2} + Q(x,t).$ 

$$cg\frac{\partial T}{\partial t} = \lambda \frac{\partial^2 T}{\partial x^2} + Q(x,t). \tag{7}$$

Hierin ist

die Wärmeleitzahl,

cg die Wärmekapazität,

T(x,t) die gesuchte Temperatur,

t die Zeit und

Q eine punktförmige Wärmequelle.

= 0 erhält man den stationären (zeitunabhängigen) Fall der Wärmeleitung.

Im allgemeinen Fall  $\frac{1}{5}$  sind die Anfangs- und Randbedingungen des Problems gegeben durch:

a) die Anfangstemperatur  $T_0(x, t = 0)$  und

b) die vorgegebenen Temperaturen T = T(x,t) auf der Berandung des Stabes mit dem Querschnitt A (Randbedingung 1. Art) oder

c) durch Randwerte auf der Oberfläche S (Randbedingungen 2. Art)

$$\lambda \frac{\partial T}{\partial n} + \alpha (T - T_u) + q = 0, \qquad (8)$$

mit  $\frac{\partial T}{\partial n}$  als Temperaturgradient in Richtung der äußeren Normalen von S,

α dem Wärmeübertragungskoeffizienten und

T, der Umgebungstemperatur.

Das Potential für den instationären Fall, erweitert um das Randintegral zur Anpassung der Randbedingung c, lautet nach / 5 /:

$$\chi = A \int \left[ \frac{1}{2} \lambda \left( \frac{\partial T}{\partial x} \right)^2 - Q^* T \right] dx + \int \left[ q T + \frac{1}{2} \kappa (T - T_u)^2 \right] dS.$$
 (9)

Fine Lösung für T(x,t) folgt nach dem Prinzip vom Minimum der potentiellen Energie aus der ersten Variation  $\delta X = 0$ , wobei

$$Q^* = cg \frac{\partial T}{\partial t} - Q(x,t)$$
 nicht variiert wird.

Durch eine Diskretisierung des Tragwerks in einzelne Elemente e erhält man das Gesamtpotential

$$\chi = \sum \chi^e. \tag{10}$$

Bei der stationären Wärmeleitung wird für die gesuchte Temperatur elementweise ein linearer Ansatz gewählt:

$$T(x) = \underline{L}(x) \quad \underline{T}^{e}. \tag{11}$$

 $\underline{L}(x)$  ist eine Ansatzfunktion für die Temperatur im Element und  $\underline{T}^e$  der Spaltenvektor der gesuchten Knotentemperaturen. Einsetzen in das Potential  $X^e$  eines Elementes liefert die folgende Matrizengleichung:

$$\frac{\partial \chi^{e}}{\partial \underline{\mathbf{T}}^{e}} = \underline{\mathbf{h}}^{e} \, \underline{\mathbf{T}}^{e} + \underline{\mathbf{F}}^{e}. \tag{12}$$

 $\underline{\mathbf{h}}^{\mathbf{e}}$  ist die Elementwärmeleitungsmatrix analog der Elementsteifigkeitsmatrix bei der Berechnung elastischer Tragwerke:

$$\underline{\mathbf{h}}^{\mathbf{e}} = \begin{bmatrix} \mathbf{h}_{\mathbf{i}\mathbf{i}}^{\mathbf{e}} & \mathbf{h}_{\mathbf{i}\mathbf{j}}^{\mathbf{e}} \\ \mathbf{h}_{\mathbf{j}\mathbf{i}}^{\mathbf{e}} & \mathbf{h}_{\mathbf{j}\mathbf{j}}^{\mathbf{e}} \end{bmatrix} \quad \text{mit } \mathbf{h}_{\mathbf{i}\mathbf{j}}^{\mathbf{e}} = \mathbf{A} \int_{\mathbf{i}\mathbf{d}\mathbf{x}}^{\mathbf{d}\mathbf{L}} \frac{d\mathbf{L}_{\mathbf{j}}}{d\mathbf{x}} d\mathbf{x}$$
 (13)

und 
$$F_i^e = -\int_{e}^{Q} L_i dx - \int_{Se}^{q} L_i dS + (\int_{Se}^{\underline{L}} dL_i dS)\underline{T}^e$$
. (14)

 $F_1^e$  entspricht der Elementbelastung bei der Berechnung elastischer Tragwerke. Summiert man in bekannter Weise (Finite Elementmethode), so erhält man aus der Minimalbedingung dX = 0 die Matrizengleichung für den stationären Fall:

$$\frac{\partial \chi}{\partial T} = \underline{0} = \underline{H} \underline{T} + \underline{F}. \tag{15}$$

Bei der instationären Wärmeleitung gilt entsprechend:

$$\underline{H} \ \underline{T} + \underline{C} \ \frac{\partial \underline{T}}{\partial t} + \underline{F} = 0, \tag{16}$$

wobei T die gesuchten Temperaturen und

F die Wärmeströme in den Knotenpunkten (Spaltenvektoren) sind.

Der zusätzliche Term  $\underline{C}$   $\frac{\partial T}{\partial t}$  gegenüber (15) berücksichtigt die zeitabhängige Temperaturverteilung.  $\underline{C}$  ist die globale Wärmekapazitätsmatrix. Mit dem linearen Ansatz (11) berechnet man  $\underline{c}^e$  elementweise zu

$$\underline{c}^{e} = \begin{bmatrix} c_{ii}^{e} & c_{ij}^{e} \\ c_{ii}^{e} & c_{ij}^{e} \end{bmatrix}, c_{ij}^{e} = cg A \int_{1}^{L} L_{i} dx, i, j = 1, 2.$$
(17)

Zur Lösung von (16) wird im Zeitinterval At ebenfalls ein linearer Ansatz L(t) gewählt:

$$T(t)_{\underline{i}} = \underline{L}(t) \begin{bmatrix} T_{\underline{v}} \\ T_{\underline{v+1}} \end{bmatrix}, \text{ mit } \underline{V} = 0, 1, 2, \dots$$
 (18)

 $T_{v}$  ist der Anfangstemperaturvektor zur Zeit  $t_{o} = 0$ ,  $T_{v+1}$  der Temperaturvektor zur Zeit  $t + \Delta t = t_{v+1}$ 

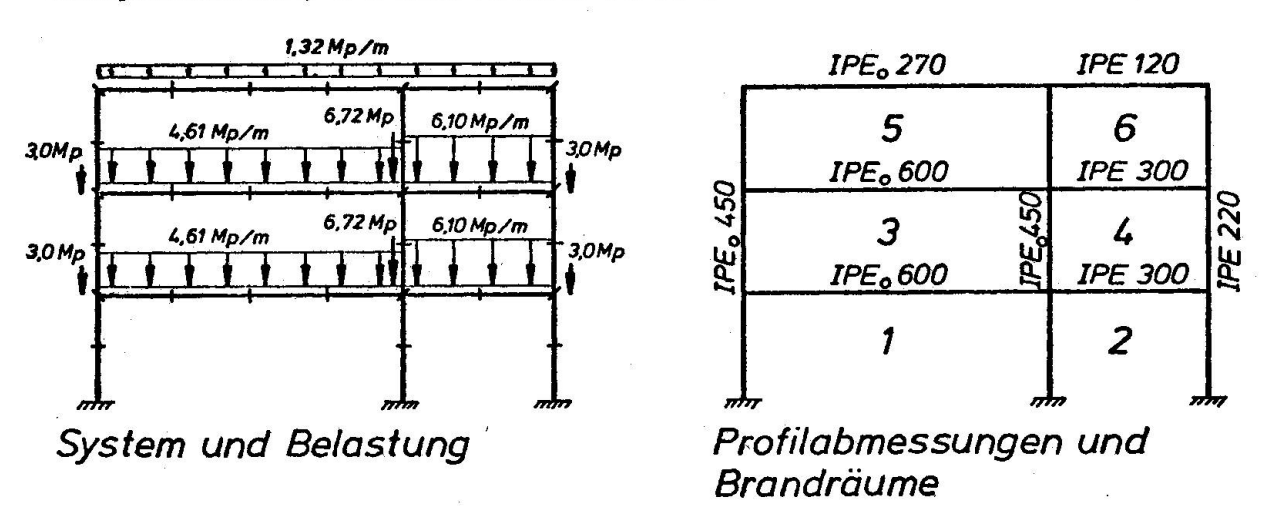
Die Lösung der instationären Wärmeleitungsgleichung (16) liefert zum Zeitpunkt  $t_{n+1}$  nach  $\sqrt{4}$ 

$$\underline{\mathbf{T}}_{\mathbf{0}+1} = \left(\frac{2}{3} \underline{\mathbf{H}} + \frac{1}{\Delta \mathbf{t}} \underline{\mathbf{C}}\right)^{-1} \left[ \left(-\frac{1}{3} \underline{\mathbf{H}} + \frac{1}{\Delta \mathbf{t}} \underline{\mathbf{C}}\right) \underline{\mathbf{T}}_{\mathbf{V}} - \underline{\mathbf{F}} \right]$$
(19)

Die Temperaturverteilung kann damit in den einzelnen Zeitschritten bestimmt werden.

## 4. Ergebnisse

An einem ebenen Rahmentragwerk soll die Berechnung des zeitabhängigen Lastfaktors gezeigt werden (Bild 5). Der Lastfaktor bleibt zunächst eine Zeitlang konstant und fällt dann sehr schnell ab; die Abhängigkeit der Feuerwiderstandsdauer vom Brandraum ist deutlich zu erkennen. Bei unterschiedlicher Wärmebelastung (5000 - 3000 kcal/h) ergibt sich für den Brandraum 1 die größte Feuerwiderstandsdauer von einer Stunde; für den Brandraum 5 sinkt sie auf 40 Minuten und erreicht im Brandraum 4 nur noch 20 Minuten. Ein wesentlicher Grund für die geringe Feuerwiderstandsdauer im Brandraum 4 sind die kleinen Stabquerschnitte, die sich relativ schnell erwärmen.



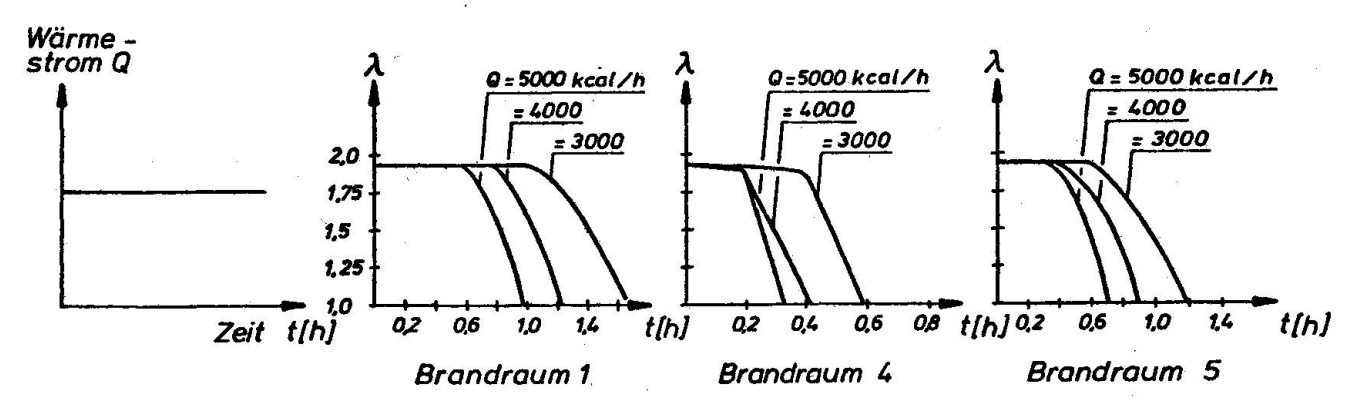


Bild 5: Beispiel Stockwerkrahmen

5. Berücksichtigung der Verformungen

Die starrplastische Traglastberechnung verliert ihre Gültigkeit, wenn vor dem Kollaps so große Verformungen auftreten, daß Zusatzschnittgrößen aus Theorie 2. Ordnung nicht vernachlässigt werden dürfen. Bei der Traglastberechnung Theorie 2. Ordnung unter erhöhten Temperaturen muß bei der Ermittlung der Verformungen berücksichtigt werden, daß sich durch das Auftreten von Fließgelenken die Steifigkeit des Tragwerks verringert. Die Lage der Fließgelenke wird wiederum von der Schnittgrößenverteilung bestimmt. Wird der Lastfaktor schrittweise erhöht, so kann jede Abminderung der Steifigkeit durch Fließgelenke in die Verformungsberechnung einbezogen werden. Sind gleichzeitig mit dem Brand keine größeren seitlichen Verschiebungen der Knotenpunkte zu erwarten, so kann das aufwendige iterative Verfahren umgangen werden durch die Berechnung der Tragfähigkeitsminderung eines Ersatzstabes (vgl. / 6 /). Zur Berechnung des in Bild 6 dargestellten Beispieles wurde das in / 7 / beschriebene Verfahren verwendet.

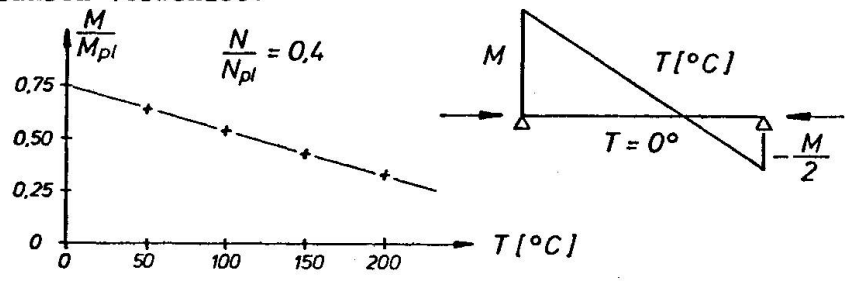


Bild 6: Traglast nach Theorie 2.Ordnung

# Literatur:

/1\_/ Anderheggen, E.; Knöpfel, H.: Finite Element Limit Analysis using Linear Programming, Int. J. Solids Structures, 1972, Vol. 8, pp 1413 to 1431.

Thierauf, G.: Traglastberechnung und -bemessung von Stockwerkrahmen mit Hilfe der Linearen Programmierung. Der Stahlbau 44, 1975, Heft 1, S. 19 - 26.

/ 5 / Zienkiewicz, O. C.: The Finite Element Method in Engineering Sciences, \_ Mc. Graw Hill, New York 1971.

77 Shen, M. K.; Thierauf, G.: Berechnung der Verformungen eines elastischplastischen Stabelements unter gleichzeitiger Wirkung von Biegemoment und Normalkraft. Der Bauingenieur, 46, (1971) Heft 9, S. 342 - 344.

# **ZUSAMMENFASSUNG**

Im vorliegenden Beitrag wird ein Ansatz zur Traglastberechnung von Rahmentragwerken bei erhöhter Temperaturen beschrieben. Für spezielle Brandfälle wird die Temperaturverteilung mit Hilfe der Methode der Finiten Elemente berechnet, und in Abhängigkeit von der Temperatur die Festigkeit ( $\sigma_{\rm F}$ ) verringert. Die Traglastberechnung mit Linearer Optimierung ergibt den temperaturabhängigen Lastfaktor  $\lambda({\rm T})$ . Bei zeitlich veränderlicher Temperaturverteilung erhält man den zeitabhängigen Lastfaktor  $\lambda({\rm T})$ .

### SUMMARY

This paper proposes a viable method for collapse load analysis of frameworks subjected to high temperatures. For special cases of fire the distribution of the temperature is computed using a finite Element method and the strength (yield stress  $\sigma_F$ ) is reduced due to the existing temperatures. Using Linear Programming techniques a plastic analysis of the system results in the temperature-dependent load factor  $\lambda(T)$ . If the distribution of the temperature is given as a function of time, a time-dependent load factor  $\lambda(t)$  is obtained.

### RESUME

L'article propose une méthode pour le calcul à la ruine de cadres soumis à des températures élevées. Dans des cas d'incendie particuliers, la distribution des températures est calculée à l'aide de la méthode des éléments finis, et la limite élastique est réduite en fonction de la température. Le calcul à la ruine utilisant des techniques de programmation linéaire permet d'obtenir la charge portante en fonction de la température. Si la distribution de la température est donnée en fonction du temps, la charge portante est obtenue en fonction du temps.

# Leere Seite Blank page Page vide